Rotor 17

- Français
- English

Downloadable files
×

Open access

Git project

Original model

Rotor 17 is part of a research program to study the effect of weight flow per unit annulus area on the performance of axial-flow fan stages. A series of three stage: rotor 11, 16 and 17 were designed with a weight flow per unit annulus area of 198, 178, and 208 kilograms per second per square meter. All three stages were designed to produce a pressure ratio of 1.57, and all had the same meridional flow path geometry.

- Original technical report [(cite:urasek73design>Urasek. «Performance of transonic fan stage with weight flow per unit annulus area of 208 kilograms per sercond per square meter (42.6 (lb/sec)/ft²) » 1973. pdf)]:

```
@TechReport{urasek1973design,
  author           = {Urasek, Donald C. and Kovich, George and Moore,
Royce D.},
  date             = {1973},
  institution      = {NASA Lewis Research Center Cleveland, OH, United
States},
  title            = {Performance of transonic fan stage with weight flow
per unit annulus area of 208 kilograms per sercond per square meter (42.6
(lb/sec)/ft²)},
  number           = {NASA-TM X-2903},
  url              = {https://ntrs.nasa.gov/citations/19740001910},
}
```

Useful documents

- downloadable models (Git project)
- PDF of the NASA report :
  rotor17.pdf
- CSV file of the blade geometry :
  rotor17_original.csv
  , usable as input of OpenMCAD[(cite:Kojtych_2022_gene_aubes>Kojtych S., Batailly A.

> «OpenMCAD, an open blade generator: from Multiple-Circular-Arc profiles to Computer-Aided Design model» 2022. code en libre accès)] to generate reference blade models.

Reference blade

The **reference blade** is defined with multiple-circular arc profiles[(cite:Crouse_1969_computer)] given in the original NASA report[(cite:urasek73design)]. Corresponding models are computed with the open-source code OpenMCAD[(cite:Kojtych_2022_gene_aubes)].

Geometry

The geometry of rotor 17 is described in the original NASA report by the following tables. The length are in centimeters and the angles in degrees.

TABLE IV. - BLADE GEOMETRY FOR ROTOR 17

RP	PERCENT SPAN	RADII RI	RADII RO	BLADE ANGLES KIC	BLADE ANGLES KTC	BLADE ANGLES KOC	DELTA INC	CONE ANGLE
TIP	0.	25.199	24.785	62.61	61.26	56.06	2.53	-10.696
1	5.	24.615	24.251	61.29	60.07	55.54	2.80	-9.067
2	10.	24.044	23.716	60.05	58.79	54.91	3.06	-7.870
3	30.	21.719	21.579	55.40	52.67	51.81	4.14	-2.944
4	45.	19.935	19.976	52.10	47.65	47.44	4.96	0.778
5	48.	19.633	19.708	51.55	46.77	46.54	5.10	1.412
6	50.	19.330	19.441	51.00	45.88	45.59	5.24	2.051
7	53.	19.025	19.174	50.46	44.98	44.59	5.37	2.692
8	55.	18.719	18.907	49.92	44.05	43.54	5.50	3.339
9	70.	16.837	17.303	46.62	37.38	36.27	6.28	7.494
10	90.	14.158	15.166	42.13	26.40	22.17	7.14	13.984
11	95.	13.446	14.631	40.96	23.50	16.66	7.28	15.844
HUB	100.	12.700	14.097	39.73	20.47	10.26	7.40	17.956

RP	BLADE THICKNESSES TI	BLADE THICKNESSES TM	BLADE THICKNESSES TO	AXIAL DIMENSIONS ZIC	AXIAL DIMENSIONS ZMC	AXIAL DIMENSIONS ZTC	AXIAL DIMENSIONS ZOC
TIP	0.051	0.152	0.051	1.093	2.147	2.552	3.285
1	0.051	0.163	0.051	1.047	2.148	2.518	3.326
2	0.051	0.173	0.051	1.002	2.149	2.481	3.369
3	0.051	0.216	0.051	0.815	2.150	2.283	3.544
4	0.051	0.249	0.051	0.676	2.149	2.080	3.690
5	0.051	0.255	0.051	0.653	2.149	2.042	3.715
6	0.051	0.260	0.051	0.629	2.149	2.002	3.741
7	0.051	0.266	0.051	0.605	2.148	1.961	3.767
8	0.051	0.271	0.051	0.580	2.148	1.918	3.794
9	0.051	0.306	0.051	0.414	2.141	1.616	3.964
10	0.051	0.356	0.051	0.153	2.119	1.099	4.198
11	0.051	0.370	0.051	0.080	2.109	0.951	4.255
HUB	0.051	0.385	0.051	0.000	2.096	0.790	4.311

Aerodynamic design

	unit	values
pressure ratio	[-]	1.57
mass flow	[kg/s]	31
tip speed	[m/s]	425
tip solidity	[-]	1.3

	unit	values
aspect ratio	[-]	2.4
number of blades	[-]	43
rotative speed	[rad/s]	1686

Material properties

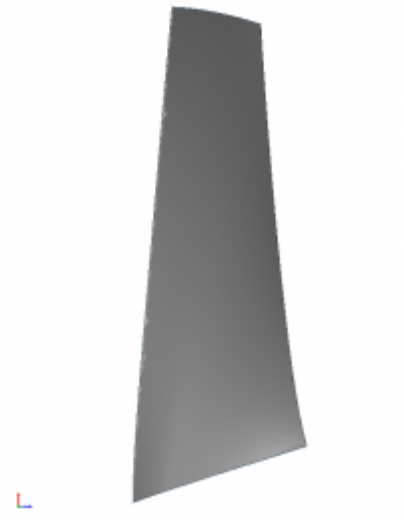
The original material of the rotor 17 is not defined in the NASA report.

Considered properties: Ti-6Al-4V, generic titanium :

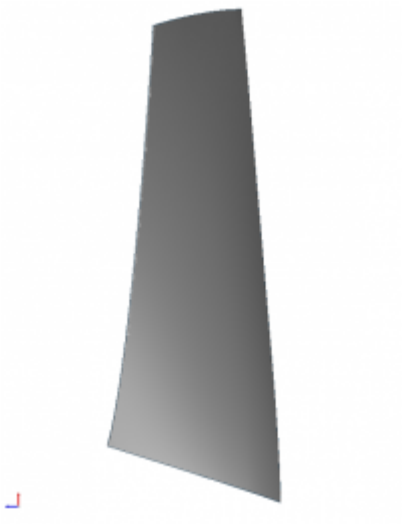
	unité	valeurs
alloy	[-]	Ti-6Al-4V
Young's modulus	[GPa]	108
density	[kg/m3]	4400
Poisson's ratio	[-]	0.34
yield stress	[GPa]	0.824

CAD model

The CAD model is computed with the open source code OpenMCAD[(cite:Kojtych_2022_gene_aubes)].



pressure side



suction side

Natural frequencies

First three natural frequencies (with clamped root) for the mesh computed with OpenMCAD[(cite:Kojtych_2022_gene_aubes)]:

Mode	Type	Natural angular frequency (rad/sec)	Natural frequency (Hz)
1	1B	1748.7	278.314
2	2B	8635.04	1374.31
3	1T	13697.72	2180.06

Initial blade

The **initial blade** is defined with in-house LAVA parameters[(cite:Kojtych_2022_Methodology)] computed from the reference blade CAD model. The initial blade is usually used as starting point for an optimization process. Its geometry is similar to the one of the reference blade.

Natural frequencies

First three natural frequencies (with clamped root)

- from the whole mesh:

Mode	Type	Natural angular frequency (rad/sec)	Natural frequency (Hz)
1	1B	1776.28	282.704
2	2B	8707.11	1385.78
3	1T	13736.74	2186.27

- from the reduced order model:

Mode	Type	Natural angular frequency (rad/sec)	Natural frequency (Hz)
1	1B	1776.30	282.707
2	2B	8709.19	1386.11

Mode	Type	Natural angular frequency (rad/sec)	Natural frequency (Hz)
3	1T	13738.87	2186.61

Fichiers téléchargeables
×

Libre accès

lien vers le projet Git

À propos

Le rotor 17 fait partie d'un programme de recherche visant à étudier l'effet du débit massique par unité de surface annulaire sur les performances des soufflantes à flux axiaux. Une série de trois étages comprenant le rotor 11, 16 et 17 ont été conçus avec un débit massique par unité de surface annulaire de 198, 178 et 208 kilogrammes par seconde par mètre carré. Les trois étages ont été conçus pour produire un rapport de pression de 1.57.

- Rapport technique original [(cite:urasek73design>Urasek. «Performance of transonic fan stage with weight flow per unit annulus area of 208 kilograms per sercond per square meter (42.6 (lb/sec)/ft²) » 1973. pdf)]:

```
@TechReport{urasek1973design,
  author           = {Urasek, Donald C. and Kovich, George and Moore,
Royce D.},
  date             = {1973},
  institution      = {NASA Lewis Research Center Cleveland, OH, United
States},
  title            = {Performance of transonic fan stage with weight flow
per unit annulus area of 208 kilograms per sercond per square meter (42.6
(lb/sec)/ft²)},
  number           = {NASA-TM X-2903},
  url              = {https://ntrs.nasa.gov/citations/19740001910},
}
```

Documents utiles

- modèles téléchargeables (lien vers projet Git)
- PDF du rapport de la NASA :

  rotor17.pdf
- Fichier CSV de la géométrie :

  rotor17_original.csv

  , utilisable en entrée de OpenMCAD[(cite:Kojtych_2022_gene_aubes>Kojtych S., Batailly A. «OpenMCAD, an open blade generator: from Multiple-Circular-Arc profiles to Computer-Aided Design model» 2022. code en libre accès)] pour générer l'aube de référence

Aube de référence

L'**aube de référence** est définie par des profils de type arcs circulaires multiples[(cite:Crouse_1969_computer>Crouse *et al*. «A computer program for composing compressor blading from simulated circular-arc elements on conical surfaces » 1969. NASA-TN-D-5437. pdf)], donnés dans le rapport technique original de la NASA[(cite:urasek73design)]. Les modèles associés sont obtenus avec le code en libre accès OpenMCAD[(cite:Kojtych_2022_gene_aubes)].

Géométrie

La géométrie du rotor 17 est décrite dans le rapport d'origine de la NASA par les tableaux suivants. Les grandeurs sont en centimètres et en degrés.

TABLE IV. - BLADE GEOMETRY FOR ROTOR 17

	PERCENT	RADII		BLADE ANGLES			DELTA	CONE
RP	SPAN	RI	RO	KIC	KTC	KOC	INC	ANGLE
TIP	0.	25.199	24.785	62.61	61.26	56.06	2.53	-10.696
1	5.	24.615	24.251	61.29	60.07	55.54	2.80	-9.067
2	10.	24.044	23.716	60.05	58.79	54.91	3.06	-7.870
3	30.	21.719	21.579	55.40	52.67	51.81	4.14	-2.944
4	45.	19.935	19.976	52.10	47.65	47.44	4.96	0.778
5	48.	19.633	19.708	51.55	46.77	46.54	5.10	1.412
6	50.	19.330	19.441	51.00	45.88	45.59	5.24	2.051
7	53.	19.025	19.174	50.46	44.98	44.59	5.37	2.692
8	55.	18.719	18.907	49.92	44.05	43.54	5.50	3.339
9	70.	16.837	17.303	46.62	37.38	36.27	6.28	7.494
10	90.	14.158	15.166	42.13	26.40	22.17	7.14	13.984
11	95.	13.446	14.631	40.96	23.50	16.66	7.28	15.844
HUB	100.	12.700	14.097	39.73	20.47	10.26	7.40	17.956

	BLADE THICKNESSES			AXIAL DIMENSIONS			
RP	TI	TM	TO	ZIC	ZMC	ZTC	ZOC
TIP	0.051	0.152	0.051	1.093	2.147	2.552	3.285
1	0.051	0.163	0.051	1.047	2.148	2.518	3.326
2	0.051	0.173	0.051	1.002	2.149	2.481	3.369
3	0.051	0.216	0.051	0.815	2.150	2.283	3.544
4	0.051	0.249	0.051	0.676	2.149	2.080	3.690
5	0.051	0.255	0.051	0.653	2.149	2.042	3.715
6	0.051	0.260	0.051	0.629	2.149	2.002	3.741
7	0.051	0.266	0.051	0.605	2.148	1.961	3.767
8	0.051	0.271	0.051	0.580	2.148	1.918	3.794
9	0.051	0.306	0.051	0.414	2.141	1.616	3.964
10	0.051	0.356	0.051	0.153	2.119	1.099	4.198
11	0.051	0.370	0.051	0.080	2.109	0.951	4.255
HUB	0.051	0.385	0.051	0.000	2.096	0.790	4.311

Caractéristiques aérodynamiques

	unités	**valeurs**
taux de compression	[-]	1,57
débit massique	[kg/s]	31
vitesse en tête	[m/s]	425
solidité en tête	[-]	1,3
allongement	[-]	2,4
nombre d'aubes	[-]	43

	unités	valeurs
vitesse de rotation	[rad/s]	1686

Propriétés matériau

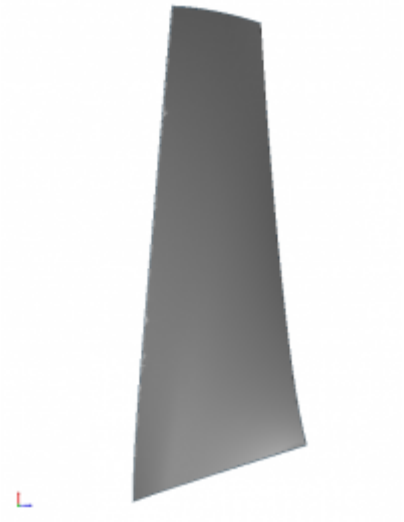
Le matériau original du rotor 17 n'est pas défini dans le rapport de la NASA.

Propriétés considérées : alliage de titane Ti-6Al-4v :

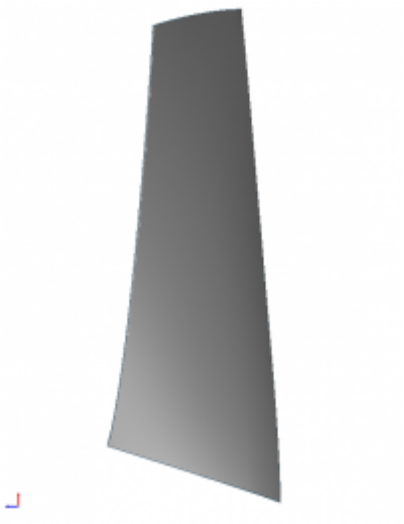
	unité	valeurs
alliage	[-]	Ti-6Al-4v
module d'Young	[GPa]	108
masse volumique	[kg/m3]	4400
coefficient de Poisson	[-]	0,34
limite élastique	[GPa]	0,824

Modèle CAO

Le modèle CAO est obtenu avec OpenMCAD[(cite:Kojtych_2022_gene_aubes)].



intrados



extrados

Fréquences propres

Fréquences des trois premiers modes (noeuds du pied d'aube encastrés) pour le maillage obtenu avec OpenMCAD[(cite:Kojtych_2022_gene_aubes)] :

Mode	Type	Pulsation propre (rad/sec)	Fréquence propre (Hz)
1	1B	1748,7	278,314
2	2B	8635,04	1374,31
3	1T	13697,72	2180,06

Aube initiale

L'**aube initiale** est définie par des paramètres spécifiques au LAVA[(cite:Kojtych_2022_Methodology>Kojtych S. *et al*. «Methodology for the Redesign of Compressor Blades Undergoing Nonlinear Structural Interactions: Application to Blade-Tip/Casing Contacts » 2022. Journal of Engineering for Gas Turbines and Power, Vol. 145, No. 5. pdf)] obtenus à partir du modèle CAO de l'aube de référence. L'aube initiale est classiquement utilisée comme point de départ dans le cadre de procédures d'optimisation; sa géométrie est similaire à celle de l'aube de référence.

Fréquences propres

Fréquences des trois premiers modes (noeuds du pied d'aube encastrés),

- pour le maillage complet :

Mode	Type	Pulsation propre (rad/sec)	Fréquence propre (Hz)
1	1B	1776,28	282,704
2	2B	8707,11	1385,78
3	1T	13736,74	2186,27

- pour le modèle réduit :

Mode	Type	Pulsation propre (rad/sec)	Fréquence propre (Hz)
1	1B	1776,30	282,707
2	2B	8709,19	1386,11
3	1T	13738,87	2186,61

</tabs>

Document issu de la page wiki:
https://lava-wiki.meca.polymtl.ca/public/modeles/rotor_17/accueil?rev=1679263139

Dernière mise à jour: **2023/04/05 08:59**